

319-② RC高橋脚の復元力特性に関する実験

九州大学工学部 学生員 ○川村彰彦

正員 大塚久哲

正員 太田俊昭

1. まえがき

ダブルデッキ形式の橋梁（上層：道路、下層：鉄道）の下部工にRC高橋脚を適用する場合、その構造形式の選定にあたっては、列車走行時の固有振動数や地盤の卓越周期に同調しないものが要求される。しかも列車の横搖れ防止上からの水平変位制限条件も加わるので、橋脚形状の選定は非常に厳しい。一般に耐震力と外力として静的水平加力実験を行なう場合、入力方向のランダムな柱線上、少なくとも橋脚および橋軸直角方向に載荷するのが望ましい。しかし既往の実験報告では弱軸方向のみの実験が支配的のようにある。本研究は形状の異なる2種類のRC高橋脚を対象にして、耐震力を想定した耐震条件下の載荷実験と弾性範囲から崩壊に至るまで繰り返し荷重により行ない、実験値と理論値との比較に加え、実験モデルの履歴性状、復元力特性、フラット伝播機構、非弾性域での変形性状などについて検討した。

2. 解析モデルおよび解析方法

図-1に示す通り、下段柱間に耐震壁を有する橋脚（Aタイプ）と中間つなぎ梁を有しハンチを施したランプ橋脚（Bタイプ）の2種類について簡易計算法を用いて解析を行なった。すなはち、Aタイプについては耐震壁を有する方持梁としてせん断変形を考慮し、Bタイプについては剛域およびせん断変形を考慮した変断面部材からなるランプとして慣用のたわみ角法を用いた。数値計算においては剛性評価の妥当性を確認するため、せん断剛性低下率βを導入し、パラメトリック解析を行ない実験値と比較した。Aタイプでは耐震壁、Bタイプでは全部材についてβを変化させた。

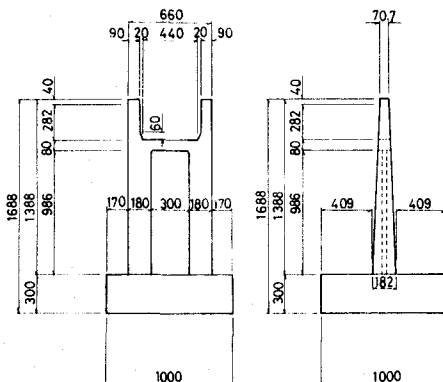


図-1(a) Aタイプ概略図

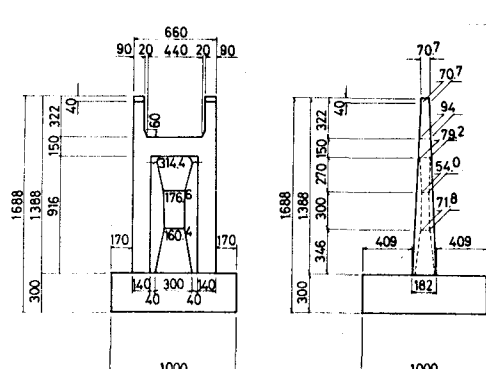


図-1(b) Bタイプ概略図

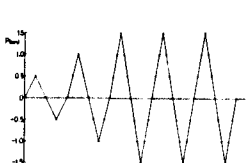


図-2 (a) A1タイプ
橋軸方向載荷パターン

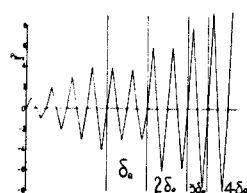


図-2 (b) A1タイプ
橋軸直角方向載荷パターン

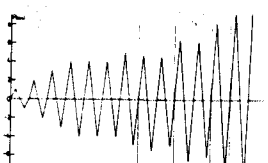


図-2 (c) A1タイプ
橋軸直角方向載荷パターン

3. 硬型実験の概要

本実験の主目的の一つは、耐震壁およびひびき梁にクラックが発生した後の橋脚の復元力特性を知ることにある。このため、図-1に示すA, BタイヤのRC模型を各々2体づつ、計4体製作した。AのIタイヤでは、橋軸方向に繰り返し載荷し耐震壁にクラックが発生させた後、橋軸直角方向に繰り返し載荷した。AのIIタイヤでは、橋軸直角方向載荷を行なわず、橋軸直角方向のみの繰り返し載荷を行ない、IおよびIIタイヤの復元力特性の比較を行なった。載荷重は一点集中荷重とし、鉄道部の両側にジャッキをセットした。写真-1はAタイヤの実験風景である。載荷パルターンを図-2に示す。橋軸方向載荷の場合、下段柱にクラックが発生した時（Aタイヤで1.0ton）の変位をとし、クラック発生以後は変位制御により繰り返し載荷を行なった。橋軸直角方向載荷の場合は、耐震壁あるいはひびき梁にクラックが発生した時の変位をとし、これにて（AのI, IIタイヤともに4.0ton）Bタイヤの実験も、Aタイヤとほぼ同様に行なった。

4. 実験結果および解釈値の比較

図-3にAのIおよびIIタイヤのヒステリシスループを示す。図-4は復元力特性について実験値と理論値を比較している。これらの図から、弾性時にはIIタイヤは、ほぼ $\beta = 1$ であるが、Iタイヤは $\beta = \frac{1}{3}$ 程度であること、設計荷重（約4.0ton）以後はIタイヤで $\beta = \frac{1}{3}$ 、IIタイヤで $\beta = \frac{1}{6}$ 程度に剛性が低下していくことが知られる。BのIおよびIIタイヤについては当日会場にて発表する。

参考文献

大塚, 大田, 川村他; Drift Capacity and Failure Mechanism of Tall Reinforced Concrete Piers, Proceedings of the Japan Congress on Materials Research 25th, 1982 (印刷中)

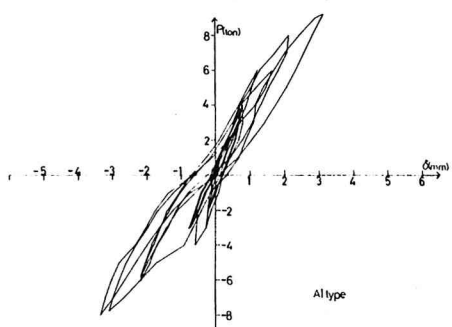


図-3 (a) A Iタイヤ ヒステリシスループ(鉄道部)

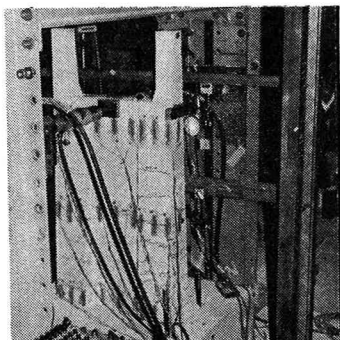


写真-1 実験風景

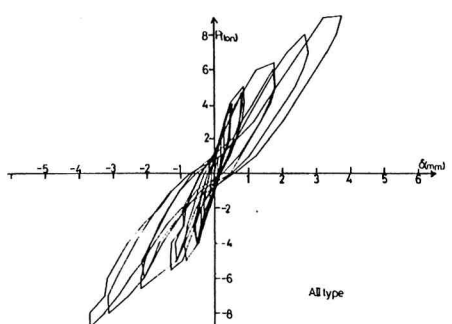


図-3 (b) A IIタイヤ ヒステリシスループ(鉄道部)

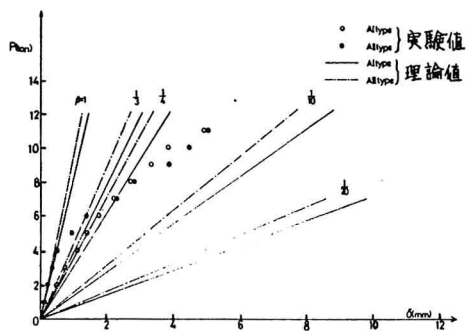


図-4 A Iタイヤ 荷重一変位曲線(鉄道部)